



التحليل الابعدي لفعالية ضخ المياه الجوفية في برك ضحلة افتراضية في منطقة سفوان - الزبير، جنوب العراق

علاء محسن عطية

قسم علم الأرض، كلية العلوم، جامعة البصرة. البصرة، العراق

الاستلام: 2004/3/18 القبول: 2004/11/2

الملخص

تم تقييم ديناميكية جريان المياه الجوفية المرتبط مع الضخ من البرك الضحلة الواسعة القطر والتي تعد وسيلة لتطوير المكامن المائية الضحلة غير المحصورة حيث يسمح خزين البركة الكبير بالضخ لفترات زمنية قصيرة وبمعدلات ضخ كبيرة او الضخ لفترات زمنية طويلة نسبياً ولكن بمعدلات ضخ اقل. استخدم نموذج عددي يعتمد على الفروقات المحددة لتقييم تأثير خزين وحجم البركة والاختراق الجزئي وزمن الضخ على تصريف الضخ من البركة. عولجت كلا من حالتي الجريان المستقرة وغير المستقرة وعممت نتائج المحاكاة من خلال التحليل الابعدي. إن نتائج التحليل الابعدي المبنية على تشغيلات النموذج العددي لحالات افتراضية متنوعة والتي تأخذ بنظر الاعتبار تأثير معظم العوامل على تصريف الضخ ومعدل التدفق باتجاه البركة من الممكن المائي تمكن من تقييم كلا من معاملات العطاء المائي طويلة الامد والقصيرة الامد الناتجة من الضخ من مثل هذه البرك ولقيم معينة من المعاملات الهيدروليكية وابعاد الممكن وظروفه الحدودية. اقترحت خطوات لتصميم برك وفقاً لمعطيات الحل العددي والتحليل الابعدي في حالة كون الجريان غير مستقراً. المعاملات التي يمكن الحصول عليها من عملية التصميم تشمل كلا من قطر البركة ومعدل الضخ وزمن الضخ. أما القيود المفروضة لعملية التصميم فهي كون عملية الضخ-عودة المنسوب تحدث وفق دورة يومية أي فترة ضخ مفردة متبوعة بفترة عودة منسوب. وبسبب طبيعة الممكن المائي الفئتي في منطقة سفوان-الزبير والذي من المزمع إنشاء البرك فيه لتلافي تدهوره كما ونوعاً، افترضت معاملات تصميم مبنية على معدل المعاملات الهيدروليكية وابعاد الممكن. بينت النتائج بان تصميم برك تزيد أقطارها على 14 متر بفترة ضخ فعلية مقدارها 0.5 يوم وبمعدل ضخ مقداره 1980 متر³/يوم تكفي للايفاء بالاحتياجات المائية لغرض الارواء الزراعي خلال يوم كامل مع الاخذ بنظر الاعتبار ضمان عودة المنسوب المائي بمقدار 99% من الانخفاض المتحقق خلال طور الضخ.

The Dimensionless Analysis of Groundwater Pumping Activity from Hypothetical Shallow Ponds in SAFWAN-ZUBAIR Area, South of IRAQ

Abstract

The dynamics of flow associated with pumping from large diameter shallow ponds is investigated. Shallow ponds are considered as a means to develop unconfined shallow aquifer in many areas across the world. Large storage of such ponds allows pumping for short periods with large pumping discharge or for relatively long period with lower rates. A numerical finite-difference based model is used to establish effects of well storage, pond size/ partial penetration and pumping

time on the pumping discharge of ponds. Numerical results are presented in terms of generalized dimensionless variables.

Both steady and transient cases are identified. The results enable us to evaluate both the short term and long term yields that can be obtained by pumping from large ponds constructed in phreatic aquifers of given dimensionless and properties. A design procedure is selected/ for transient case/ depending upon the model runs and dimensionless analysis. The parameters that can be obtained from design procedure include pond diameter/ pumping discharge and pumping schedule for given aquifer properties if a daily pumping-recovery cycle is designed as a means to develop the shallow aquifer. Design parameters are suggested for the purposes of planning and design of such pond as a water source for irrigation in Safwan-Zubair area/ south of Iraq.

It can be stated that constructing ponds with 15 m diameter and pumping time of 0.5d with pumping discharge of about 1980 m³/d are sustained for water demands for irrigation purposes in the area of question. The values of design parameters are based on averages and generalizations.

المقدمة

أشارت دراسة موازنة المياه التفصيلية لهذا المكنم المائي المهم [2] فضلاً عن العديد من الدراسات الأخرى [3] [4] و [5] وجود اتجاه عام لنضوب خزير المياه الجوفية خلال العقود الأخرين بسبب الاستنزاف الجائر للمياه لأغراض الارواء الزراعي ولمعظم أيام السنة تقريباً. يفضل استخدام الآبار الواسعة القطر في المنطقة بالمقارنة مع الآبار الأنبوبية بسبب سهولة إنشائها بسبب الطبيعة الفتاتية للطبقة الحاملة للمياه وكلف إنشائها الواطئة نسبياً والعمق الضحل لمستوى المياه الجوفية الذي يكون بمعدل (5-10) متر وكبير خزير البئر وتلآفي ضخ المياه المالحة في الأعماق الكبيرة والتي يمثل وجودها الوصول إلى المكنم المائي المالح وهو غير مستغل حالياً بسبب تردي نوعية مياهه وعدم صلاحيتها للاستخدامات المائية المختلفة.

إن نضوب المكنم المائي لا يمثل المشكلة الوحيدة بل أن تردي نوعية مياهه تعتبر المشكلة الأكثر حرجاً وخطورة على مستقبل الإنتاج الزراعي في المنطقة. تردي نوعية المياه الجوفية في المكنم المائي يأتي بسبب تدفق المياه المالحة من المكنم المائي المحصور باتجاه الأعلى عبر طبقة الطين الفاصلة بين المكنمين كاستجابة طبيعية لانخفاض الشحنة الهيدروليكية في المكنم المائي الأعلى بسبب فعاليات الضخ خلال المواسم الزراعية.

يهدف البحث الحالي إلى دراسة وتحليل تصميم برك ضحلة (Shallow Ponds) واسعة القطر تستخدم كأبار سطحية كوسيلة لتجهيز المياه الأمر الذي يستدعي استخدام أسلوب النمذجة العددية وأسلوب التحليل البعدي لغرض دراسة ديناميكية الجريان المرتبط مع الضخ من هذه البرك وتعميم

تعد منطقة سفوان- الزبير التي تقع في أقصى الجزء الجنوبي من العراق من أقدم المناطق التي استغلت فيها المياه الجوفية لأغراض الارواء الزراعي منذ ما يقرب من خمسون عاماً مضت كما أنها واحدة من أهم واكبر المناطق الزراعية لإنتاج الخضار خاصة في الشتاء وعندما يتوقف معظم الإنتاج الزراعي في مناطق وسط وشمال القطر بسبب الظروف المناخية غير الملائمة.

يعد الجزء الأعلى من تكوين الدببة الرملي المنكشف في منطقة الدراسة المكنم المائي الوحيد المستغل في المنطقة وهو عبارة عن مكنم مائي غير محصور يتألف بشكل أساسي من الرمل والحصى تتخلله عدسات طينية تنتشر في جزئي التكوين المشبع وغير المشبع. يعتقد بان هذه العدسات تشكل حواجز موقعية للمياه المترشحة من الأمطار أو الارواء الزراعي أو أي فعاليات مائية أخرى تجري على السطح مكونة مواقع ملائمة لمكامن مائية معلقة. يتراوح السمك المشبع للمكنم المائي المستغل بين (10-20) متر تقع تحته طبقة من الطين الصلد متغيرة السمك مكانياً وتمتد امتداداً اقليمياً غير منتظم خلال المنطقة. يتراوح سمك هذه الطبقة بين (1.5-4) متر وبمعدل (2) متر. معامل التوصيلية الهيدروليكية لهذه الطبقة كمعدل يصل إلى (0.38) متر/يوم [1]. تشكل هذه الطبقة قاعدة المكنم المائي وتجعله في حالة شبه اتصال هيدروليكي مع مكنم مائي آخر محصور إلى شبه محصور يقع تحته ضمن تكوين الدببة أيضاً. يمتاز هذا الأخير بكون مياهه مالحة بعكس المكنم المائي الذي يقع فوقه والذي يمتاز بكون مياهه موبلحة.

نتائج المحاكاة. إن هذه الطريقة تعد حلاً مقترحاً واطئ الكلفة وعمق البركة، أقصى انخفاض مسموح به، خصائص هيدروليكية معينة وزمن الضخ. تكتب العلاقة الدالية لتلافي تدهور الممكن المائي كما ونوعاً.

(Function Relationship) للمتغير (Qp) بالنسبة

للمتغيرات المستقلة وفق الآتي: [7]

$$Q_p = f_1(d_w, h_o, h_b, s_w^m, k, S_y, t_p) \quad (1)$$

حيث أن: (الشكل 1)

d_w	قطر البركة.
h_o	ارتفاع مستوى الماء المستقر عن مستوى قاعدة الممكن.
h_b	ارتفاع مستوى قعر البركة عن مستوى قاعدة الممكن.
s_w^m	أقصى انخفاض مسموح به داخل البركة نسبة إلى ارتفاع مستوى ماء الأرضي المستقر.
K	لتوصيلية الهيدروليكية.
S_y	معامل العطاء النوعي.
t_p	زمن تضخ.

التحليل اللابعدي للعلاقة (1) يعطي من خلال المعادلة الآتية:

$$\frac{Q_p}{kh_o^2} = f_2\left(\frac{d_w}{h_o}, \frac{h_b}{h_o}, \frac{s_w^m}{h_o}, S_y, \frac{kt_p}{h_o}\right) \dots\dots(2)$$

في حالة كون الجريان مستقراً فإن معدل الضخ الثابت من البركة يساوي معدل تدفق المياه المستقرة باتجاه البركة لذا فإن الحد (kt_p/h_o) يمكن إهماله من العلاقة (2). من المفيد في تحليل نتائج الحالة المستقرة استبدال الحد (s_w^m/h_o) بالحد $(s_w^m/(h_o - h_b))$ الذي يمثل أقصى انخفاض مسموح به داخل البركة مع ثبوت ارتفاع قعرها، بمعنى أدق، لقيمة ثابتة من نسبة الاختراق (h_o/h_b) . في حالة الجريان غير المستقر فإن فترتي الضخ وعودة المنسوب تصبحان ذات أهمية بالغة في التحليل. يمكن كتابة العلاقة اللابعدي لفترة عودة المنسوب بالصيغة:

$$\frac{t_R}{t_p} = f_3\left(\frac{d_w}{h_o}, \frac{h_b}{h_o}, \frac{s_w^m}{h_o}, S_y, \frac{kt_p}{h_o}\right) \dots\dots(3)$$

النموذج العددي Numerical Model

النموذج العددي المستخدم في دراسة ديناميكية الجريان باتجاه بركة واسعة القطر هو نموذج المستويين (Two-Zone Model) المعد من قبل [6] وهو نموذج عددي مبني أساساً على طريقة الفروقات المحددة (Finite Difference) ويأخذ بنظر الاعتبار تأثير كلا من مركبتي الجريان الأفقي (الشعاعي) والعمودي على نمط الجريان باتجاه بئر الضخ. قدم هذين الباحثين أمثلة متنوعة حول استخدام هذه النموذج سواء في الأوساط المسامية أو الحاوية على التكرسات لحالة المكان المائية التي تتألف من مستوى منتج واحد أو عدد من المستويات.

بشكل عام فإن معاملات النموذج العددي يمكن أن تنشق بطريقتين أما بتعويض معاملات الفروقات المحددة في المشتقات التي تظهر في المعادلة للتفاضلية مباشرة أو من خلال المعالجة الفيزيائية التقليدية بالاعتماد على قانون دارسي ومفهوم الاستمرارية (Continuity Concept). يعتمد نموذج المستويين على الطريقة الأخيرة في اشتقاق معاملات هذه الفروق. إن عملية تقسيم النظام الهيدرولوجي وكتابة معادلة الجريان بطريقة الفروقات المحددة تؤدي إلى توليد مجموعة من المعادلات الجبرية الآتية والتي تحل بطريقة الحذف لكأوس (Gaussian Elimination) بدلالة الانخفاض (Drawdown) وعند خطوات زمنية متلاحقة ولحين إتمام فترة المحاكاة. إن هذه النموذج يعتمد على طريقة المحاولة والخطأ (Trial and Error) لأجراء عملية المعايرة (Calibration) وتحديد المعاملات الهيدروليكية للنظام المدروس. من أهم خصائص هذا النموذج هي في قابليته على تمثيل تنوعات واسعة من الظروف الحقلية في حل عددي منفرد.

التحليل اللابعدي لنتائج المحاكاة Dimensional Analysis

من المفيد قبل تحليل نتائج المحاكاة باستخدام نموذج الفروقات المحددة وضع هذه النتائج بصيغة لابعدي (Dimensionless) لتعميم هذه النتائج. تؤخذ المسألة هنا من وجهة نظر تصميم البركة والتي يكون فيها المتغير المعتمد (Dependent Variable) هو معدل الضخ (Qp) ولقيم محددة من حجم

إن الحدود على الجانب الأيمن من العلاقة أعلاه تحدد معدل التدفق وحجم الماء اللازم لعودة المنسوب. تمثل فترة عودة المنسوب هنا الوقت اللازم لعودة (99%) من الانخفاض المتوقع خلال فترة الضخ.

نتائج المحاكاة Simulation Result

الحالة المستقرة: شغل نموذج الحل العددي عدداً من المرات لتحديد تأثير نصف قطر البركة، نسبة الاختراق، والانخفاض المطلوب على معدل تدفق المياه في حالة الجريان المستقر. في كل حالات التشغيل أفقة الذكر استعملت قيمة توصيلية هيدروليكية مساوية لـ (k=25 m/d) لتمثيل معدل هذا المعامل للجزء الأعلى من تكوين النديبة الرملي في المنطقة. إن تمثيل نتائج المحاكاة باستخدام التحليل اللابيدي يعمم هذه النتائج لأي قيمة توصيلية هيدروليكية أخرى مع الافتراض بأن الممكن المائي متجانس ومتناظر هيدروليكيًا. يمكن تلخيص المتغيرات المأخوذة بنظر الاعتبار لكل تنفيذ للنموذج بالآتي:
لدراسة تأثير الاختراق الجزئي أخذت خمسة نسب متغيرة .
إن مديات هذه النسب تعطى بالشكل الآتي:

$$\frac{h_b}{h_o} = (0.5, 0.6, 0.7, 0.8, 0.9) \dots\dots\dots(5)$$

ولكل نسبة من نسب الاختراق أخذت أربعة نسب للانخفاض الأقصى المسموح به داخل البركة. تؤخذ هذه النسب كالتالي:

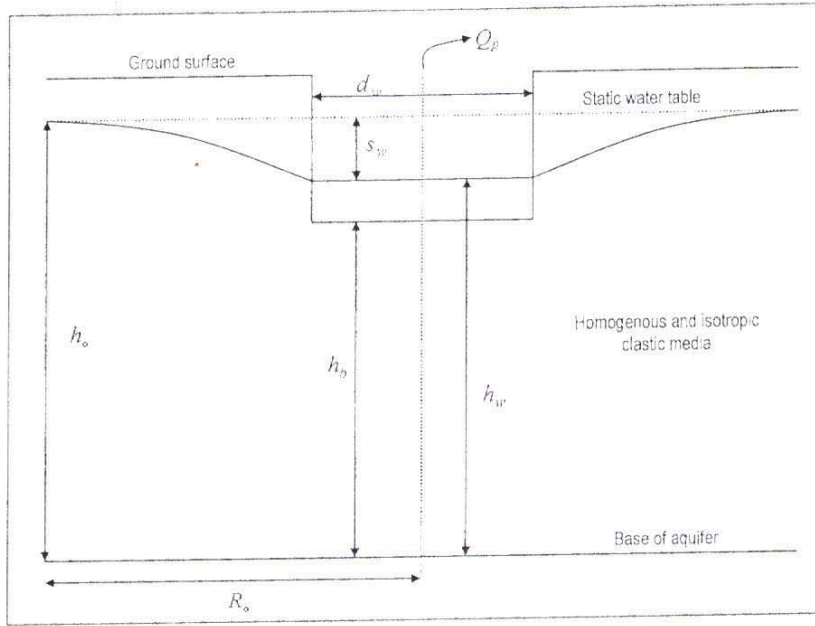
$$\frac{s_w^m}{h_o - h_b} \times 100 = (20, 40, 60, 80)\% \dots\dots\dots(6)$$

تمثل المعادلتين (2) و (3) التحليل اللابيدي الكامل لحالتي الجريان المستقر وغير المستقر . يمكن إجراء تبسيط وإعادة تنظيم لمجاميع العلائق الظاهرة في المعادلتين الآتقتي الذكر في حالة الجريان غير المستقر من خلال الحل التحليلي لـ [8] لحالة بئر واسعة القطر تخترق مكنماً مائياً محصوراً بشكل تام. مثماً مبين في [9] فإن العلاقة اللابيدية يمكن ترتيبها بالشكل:

$$\frac{Q_p}{kh_o^2} = f_4 \left[\frac{kt_p}{h_o}, S, \left(\frac{d_w}{h_o} \right)^2 \right] \dots\dots\dots \text{and}$$

$$\frac{t_R}{t_p} = f_5 \left[\frac{kt_p}{h_o}, S, \left(\frac{d_w}{h_o} \right)^2 \right] \dots\dots\dots(4)$$

حيث أن S معامل الخزن. بشكل مشابه يمكن تمثيل نتائج المحاكاة في حالة بئر جزئية الاختراق لممكن مائي غير محصور مع استبدال معامل الخزن بمعامل العطاء النوعي (Specific yield, S_y) وإدخال تأثير الحدين



شكل (1) مخطط يوضح تعريف للمساءلة.

البركة مثلما هو متوقع، فمع ازدياد قطر البركة تكون الزيادة في معدل التدفق والمساوي لمعدل الضخ كبيراً نوعاً ما بسبب ازدياد مساحة التدفق والتي تزداد تبعاً لازدياد قطر البركة. إن معدل الزيادة في معدل الضخ يصبح بعدها اصغر لقيم (d_w/h_o) اكبر من القيمة 0.5 لأن التدرج الهيدروليكي وسرعة التدفق أسفل البركة تصبح أقل مع ازدياد القطر لأن مسارات الجريان تصبح أطول حينئذ. (2) إن ازدياد قيمة الانخفاض الأقصى المسموح به داخل البركة (S_w^{ni}) لقيم معينة من نسبة الاختراق (h_b/h_o) وقطر البركة يؤدي إلى أن يكون معدل الزيادة في معدل الضخ اصغر لأن مساحة قعر البركة تكون هي المسؤولة عن المساهمة المائية الرئيسة وذلك في حالة الانخفاضات الكبيرة. (3) إن ازدياد قيم النسبة (h_b/h_o) والتي تتطابق مع اختراق أقل فاقل للمكمن المائي تسبب تناقصاً ملحوظاً في معدل التدفق بسبب وجود انخفاض قليل في مستوى الماء في البركة.

الحالة غير المستقرة: شغل نموذج الحل العددي هنا أيضاً بعدد من المرات لدراسة تأثير المتغيرات المأخوذة آنفاً على معدل الضخ من البركة. المتغيرات المضافة في هذا التحليل والتي تلعب دوراً مهماً في تحديد نتائج التحليل اللابعدي هما فترتي

ولكن حالة من هذه الحالات الأخيرة أخذت خمسة أقطار مختلفة في نظر الاعتبار:

$$\frac{d_w}{h_o} = (0.2, 0.4, 0.6, 0.8, 1.0) \dots \dots \dots (7)$$

أجريت كل تشغيلات النموذج العددي مع افتراض ثبوت قيمة السمك المشبع للمكمن المائي عند القيمة $(h_o = 15 \text{ m})$ ونصف قطر تأثير الضخ عند القيمة $(R_o = 500 \text{ m})$ متر. حدد نصف قطر التأثير اعتماداً على إعادة تشغيل النموذج العددي لعدد من المرات لتحديد أكبر نصف قطر تأثير محتمل ولمختلف الحالات المؤثرة هنا وبني الاختيار على أساس أكبر نصف قطر ملاحظ، فضلاً عن الاعتماد على القيم المبنية على العلاقات التجريبية. أما قيمة السمك المشبع المأخوذة هنا فهي تمثل معدل السمك المشبع للجزء الأعلى من تكوين الدبديبة الرملي في المنطقة.

يوضح الشكل (2) نتائج الحالة المستقرة بدلالة الكميات اللابعديّة في حالة كون الانخفاض الأقصى المسموح به في البركة يساوي 80% من الانخفاض المتوفر. إن معدل الضخ Q_p في هذه الشكل يساوي معدل التدفق المياه من المكمن باتجاه البركة Q_s . يمكن إيجاز نتائج هذه الحالة بالنقاط الآتية: (1) يزداد معدل تدفق المياه باتجاه البركة Q_s مع زيادة قطر

(2) أقصى انخفاض مسموح به (S_w^m) وتؤخذ هذه النسبة مساوية للقيمة (80%) من الانخفاض المتوقع ($h_o - h_b$) (3) معامل العطاء النوعي حيث بُنيت تشغيلات النموذج على القيمة 0.16 والممثلة لمعدل هذا المعامل في منطقة سفوان - الزبير. إما المتغيرات المراد تحديدها من التصميم فتشمل: (1) معدل الضخ Qp (2) فترة الضخ tp (3) قطر البركة dw. وقد اختيرت القيم التالية لغرض التصميم والتي تمثل معدل هذه المعاملات لمنطقة سفوان-الزبير:

$k=25 \text{ (m}^3/\text{d)}$, $h_o=15 \text{ m}$, $h_b=12 \text{ m}$, $S_w^m=2.4 \text{ m}$
تتألف عملية التصميم المقترضة من الخطوات التالية وكما هو مبين في [7]:

اختر قيمة لفترة الضخ tp كجزء من اليوم وضع زمن عودة المنسوب tr مساوية لـ (1-tp).

حدد النسبة tr/tp ثم خمن القيمة t_p من الشكل (4).

احسب قطر البركة المطلوب من القيمة t_p المحددة في الخطوة (2).

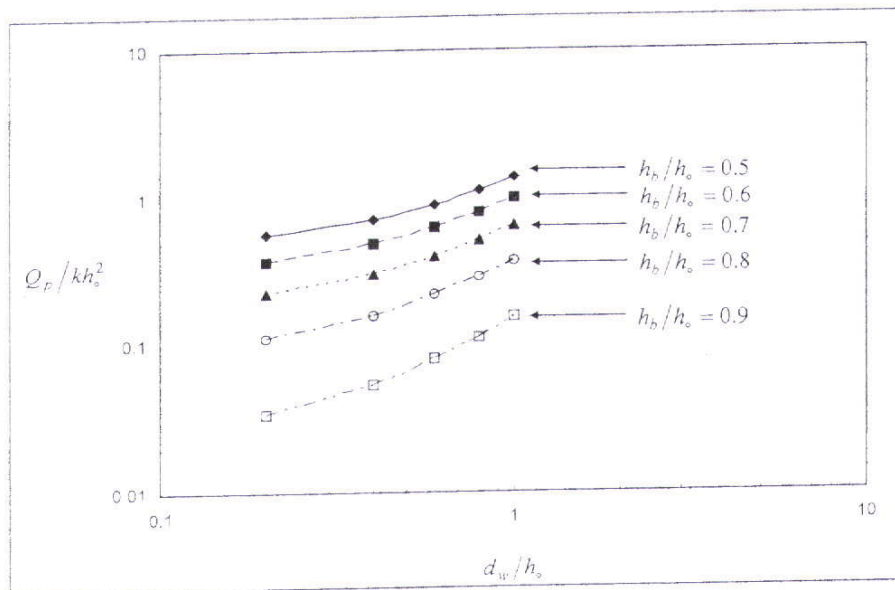
خمن معدل الضخ Qp من الشكل (3) من القيمة t_p المحددة في الخطوة (2) ومن معاملات التصميم المعطاة k, S_w^m, h_o . كرر الخطوات 1-4 لازمنة ضخ مختلفة وقارن النتائج.

الضخ tp وعودة المنسوب tr. أجريت كل تشغيلات النموذج في حالة الجريان هذه مع افتراض ثبوت الخصائص الهيدروليكية للمكمن المائي فضلاً عن ثبوت أبعاد المكمن وخصائصه الأخرى المرتبطة.

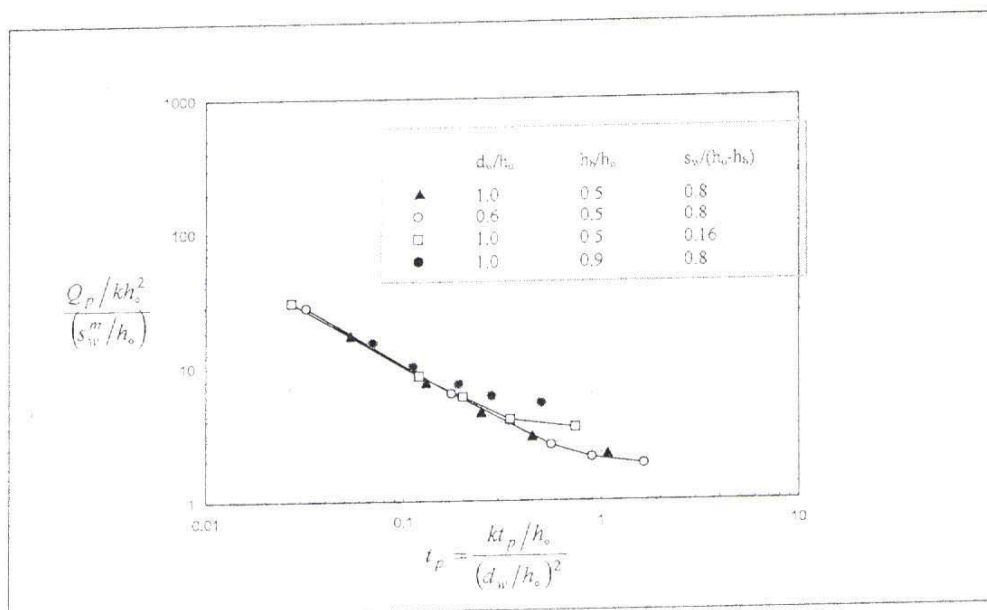
جمعت نتائج المحاكاة في حالتها المستقرة وغير المستقرة في الشكلين (3) و (4) حيث يوضح الشكل (3) معدل الضخ اللابعدى مقابل زمن الضخ اللابعدى اعتماداً على المعاملات اللابعدية التي طورت سابقاً. إن المنحني الأسفل المؤشر في الشكل (3) هو المنحني المفضل لاستعماله في مجال التصميم المقترح وهو مطبق في حالة ثبوت قيمة الانخفاض المسموح به داخل البركة عند القيمة (80%) وهذه الخاصية توفر حداً مقبولاً للإيفاء بفعاليات الضخ المزعم اختبارها. يتضمن المنحني أيضاً تأثير قطر البركة فضلاً عن إمكانية تطبيق المنحني على عدة أقطار مختلفة.

تطبيق عملي Practical Application

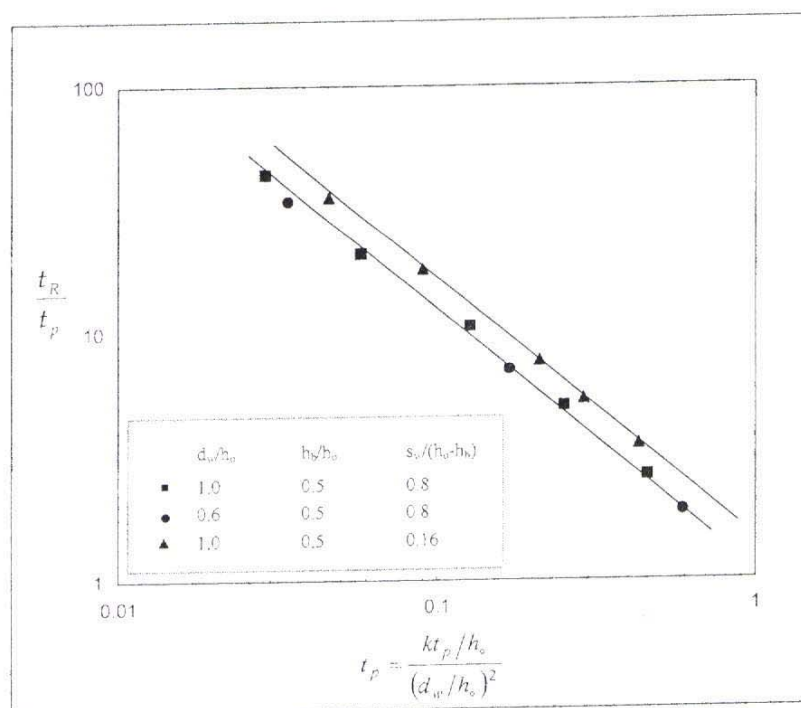
لغرض تصميم واختبار البركة المزعم تصميمها استناداً إلى معطيات التحليل اللابعدى. نفترض بان فعاليات الضخ تحدث وفق دورة يومية (Daily cycle) تتضمن فترة ضخ مفردة متبوعة بفترة عودة منسوب والتي يتم خلالها تعويض المياه المسحوبة بتدفق المياه من المكمن المائي إلى البركة. المعاملات الواجب توفرها لغرض إتمام عملية التصميم هي: (1) التوصيلية الهيدروليكية (k) Hydraulic conductivity



شكل (2) نتائج الحالة المستقرة في حالة كون الانخفاض المسموح به مساوي لـ 80% من الانخفاض المتوقع.



شكل (3) نتائج الحالة غير المستقرة لتطور الضخ.



شكل (4) نتائج الحالة غير المستقرة لعودة المنسوب

المعاملات الهيدروليكية وأبعاد المكنم المأخوذة في خطوات تصميم البركة وتطبيق الشكلين (3) و(4) فإن مقدار الضخ اللازم يكون بمقدار 1980 م³/يوم، أما فترة عودة المنسوب إلى حد 99% فتكون بحدود 0.52 يوم.

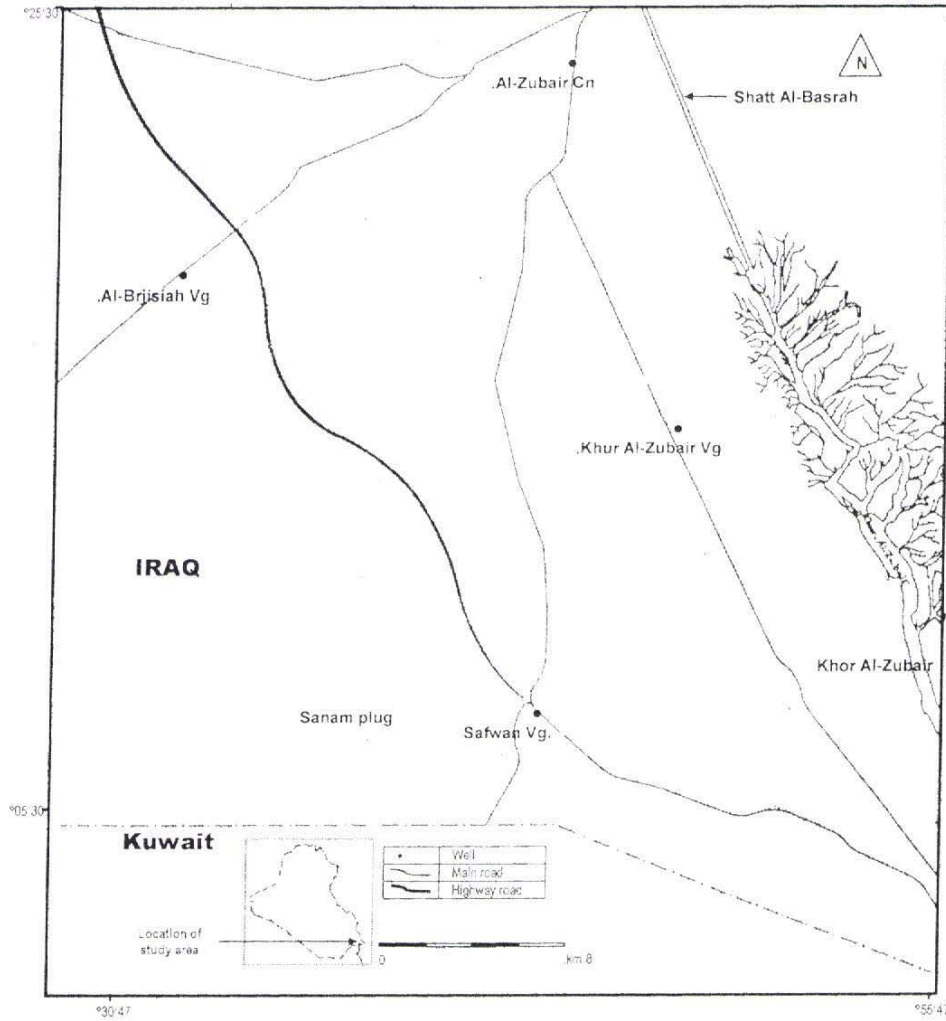
يجب ان يراعى في تصميم البرك لمنطقة الدراسة (شكل 5) كون السمك المشبع للمكنم المائي لا يزيد على 15 متر كمعدل. لذا فان البرك المصممة يجب لا تزيد مديات اختراقها للسمك المشبع عن 3 م وذلك لتلافي حدوث نقصان كبير بالشحنة الهيدروليكية في المكنم المائي المستغل الامر الذي يدفع مياه المكنم المائي غير المستغل (المالح) بالتدفق كاستجابة طبيعية لانخفاض الشحنة الهيدروليكية في المكنم المستغل الامر الذي يؤدي الى تدهوره ، كما أن اعتماد معدلات ضخ كبيرة بفترات زمنية قصيرة ومحسوبة تعطي فرصة للمكنم لتعويض المياه المسحوبة الامر الذي يتعكس على كمية المياه المتوفرة وعودة المنسوب.

إن عملية التصميم المقترحة تحدد تصريف الضخ المطلوب وقطر البركة الضروري لتمام عودة المنسوب المائي خلال فترة الضخ المأخوذة. النتائج المستحصلة من عملية التصميم باستعمال معاملات التصميم المذكورة آنفاً موضحة في الجدول 1. حيث يلاحظ من خلال هذا الجدول بان حجم الماء الكلي المسحوب من المكنم يزداد بشكل طفيف مع زيادة فترة الضخ ولكن يصبح كلا من قطر البركة ومعدل الضخ اصغر. ان التأثير الاخير ناجم من القيود المأخوذة في عملية التصميم والتي تعتبر فترة الضخ-عودة المنسوب تحدث ضمن حدود يومية فقط.

اعتماداً على هذه النتائج ومن حقيقة كون المكنم المائي في منطقة الدراسة يعاني من تدهور كمي ونوعي بسبب الاستنزاف الجائر لموارده المائية فان تصميم برك واسعة القطر باقطار تزيد على الـ 14 متر، على سبيل المثال بفترة ضخ فعلية قد تمتد الى ما يزيد على 0.5 يوم تقريباً وبفقس

جدول 1. اختبار تصميم البركة

Pumping time, t_p , in days	Recovery time, t_R , in days	t_R/t_p	$\frac{kt_p}{h_o} / (d_w/h_o)$	Diameter, d_w , in (m)	$\frac{Q_p}{kh_o^2} / \frac{s_w^r}{h_o}$	Pumping rate, Q_p , in m^3
(1)	(2)	(3)	(4)	(5)	(6)	(7)
0.1	0.9	9.00	0.15	15.81	7.00	6300
0.2	0.8	4.00	0.35	14.63	3.60	3200
0.3	0.7	2.33	0.60	13.69	3.00	2700
0.4	0.6	1.50	0.91	12.83	2.00	1800



شكل (5) منطقة سفوان - الزبير، جنوب العراق.

الاستنتاجات

اختبار تصميم مثل هذه البرك في الممكن المائي غير المحصور في منطقة سفوان-الزبير والذي يعاني مكمناً المائي المستغل من تردي نوعيته وكميته كنتيجة للافراط في سحب المياه لغرض الايفاء بالاحتياجات المائية لغرض الارواء الزراعي. ان تصميم برك باقطار تزيد على الـ 14 م وبمعدل ضخ 1980 م³/يوم ستكون كافية للايفاء بالاحتياجات المائية في حالة كون الضخ يمتد لفترة تصل إلى 12 ساعة مع ضمان عودة المنسوب 99% من الانخفاض المتحقق خلال فترة الضخ.

تم التحري عن ديناميكية جريان المياه الجوفية الناتج من الضخ في البرك الضحلة واسعة القطر والمحفورة في ممكن مائي فتاتي غير محصور لغرض تصميم مثل هذه البرك في منطقة سفوان -الزبير جنوب العراق. استخدم نموذج رياضي لغرض اجراء المحاكاة وحالات افتراضية متنوعة تاخذ بنظر الاعتبار تأثير الخصائص الهيدروليكية وابعاد الممكن على ديناميكية الجريان وعمت نتائج المحاكاة باستخدام التحليل الالابدي. اختيرت معاملات هيدروليكية ممثلة للمعدل لغرض

References

المصادر

1. Al-Kubaisi, Q. Y., 1999. *Quaternary-Tertiary hydrogeologic boundary condition at Safwan-Zubair area, South of Iraq*. Iraqi Jour. Scie., Vol.40, No.3, p.p:21-28.
2. Alaa M. Atiaa and Al-Mansori H. B., 2003. *Water budget calculations of Dibdibba sandy aquifer in Safwan-Zubair area, South of Iraq* (In press).
3. Haddad, R. H. and Hawa, A. J., 1979. *Hydrogeology of the Safwan-Zubair area, south of Iraq*, Tech. Bull, No. 122, Sci. Res., foundations, Iraq, 232.
4. Al-Kbaisi, Q. Y., 1996. *Hydrogeology of Dibdibba aquifer in Safwan-Zubair area, south of Iraq*. Unpub. Ph. D. Thesis, College of Science, University of Baghdad, 173p. (In Arabic)
5. Atiaa, A. M., 2000. *Hydrogeology of Safwan-Zubair area, south of Iraq*. Unpub. M. Sc. Thesis, College of Science, University of Basrah, 90p. (In Arabic)
6. Rathod, K. S. and Rushton, K. R., 1991. *Interpretation of pumping tests from Two-Zone layered aquifer using a numerical model*. Ground Water, Vol. 29, No. 4, pp:499-504.
7. Aral, M. M. and Strum, T. W., 1981. *Groundwater pumping from shallow axisymmetric ponds*, ASCE. Vol. 108, No. HY12, J. of the Hydraulic Division.
8. Papadopuls, I. S. and Cooper, H. H., 1967. *Drawdown in a well of large diameter wells*. Water Reso. Divi., USGS., Vol.. 3, pp:241-244.
9. Aral, M. M., Strum, T. W., and Fulford, J. M., 1981. *Analysis of the development of shallow groundwater supplies by pumping from ponds*. Report No. ERC 02-81, Office of Water Research and Technology, U. S. Department of Interior, Environmental Resources Center, Georgia Institute of Technology, Atlanta, Ga.